

## فوتوکاتالیز؛ اصول و برخی کاربردها

نویسنده:

ابراهیم زارعی کیاسری: استادیار گروه علوم پایه؛  
پردیس دکتر شریعتی؛ دانشگاه فرهنگیان

### چکیده

افزایش بازدهی فوتوکاتالیزی در سطح  $TiO_2$  انجام گرفت. چنین مطالعاتی اغلب با تجدید انرژی و ذخیره آن در ارتباط بودند (گراتل، ۱۹۸۳). بسیاری از گزارشات تحقیقاتی نشان داده‌اند که ذرات نیمه هادی دارای شکاف نوار انرژی بزرگ<sup>۳</sup> نظیر  $ZnO$   $WO_3$  و  $TiO_2$  به عنوان یک فوتوکاتالیزور عالی، می‌توانند بسیاری از آلاینده‌های آلی موجود در پساب کارخانه‌ها نظیر شوینده‌ها، رنگدانه‌ها و غیره را تحت تابش نور فرابنفش تخریب نمایند. از میان فوتوکاتالیزورهای نیمه هادی مختلف،  $TiO_2$  به دلیل در دسترس بودن آسان، طبیعت غیر سمی، عدم خوردگی فوتوشیمیایی و فعالیت کاتالیزوری مؤثر مورد توجه قرار گرفته است. در سال‌های اخیر، تصفیه محیط زیست از آلاینده‌ها، یکی از مهمترین فعالیت‌ها در حوزه فوتوکاتالیز ناهمگن می‌باشد. این کار از کاربرد ذاتی فوتوکاتالیز بر اساس  $TiO_2$ ، الهام گرفته شده است (ولیس، ۱۹۹۳). در این مقاله با زبانی ساده و روان، برای درک بهتر فرایند فوتوکاتالیز، مطالبی راجع به نظریه نوار در نیمه‌هادی‌ها، ساختمان  $TiO_2$  و مثال‌هایی از فوتوکاتالیز برخی مواد در سطح این نیمه‌هادی ذکر گردیده است.

### بحث

#### ۱- نظریه نوار

بر اساس نظریه اربیتال مولکولی، در یک مولکول از ترکیب معادلات موجی اربیتال‌های اتمی هم انرژی اتم‌های تشکیل دهنده آن مولکول، اربیتال‌های مولکولی جدید شکل می‌گیرند و الکترون‌های مولکول در این اربیتال‌های جدید آرایش می‌یابند. نظریه نوار که اولین بار توسط باخ<sup>۴</sup> مطرح گردید، از این هم پا را فراتر می‌گذارد و بیان می‌کند که اربیتال‌های مولکولی هم انرژی در یک مولکول تشکیل نوارهای انرژی را می‌دهند (مانی، ۱۹۶۵). بر این اساس، بالاترین نوار انرژی که دارای الکترون می‌باشد، نوار ظرفیت<sup>۵</sup> و پایین‌ترین نوار انرژی که خالی از الکترون است، نوار هدایت<sup>۶</sup> نامیده می‌شود. به فاصله انرژی بین نوار ظرفیت

### مقدمه

همانطور که در کتب شیمی دوره‌ی متوسطه بیان گردیده است کاتالیز فرایندی که در آن یک ماده یعنی کاتالیزور سرعت انجام یک واکنش شیمیایی را تسريع می‌نماید. فوتوکاتالیز در واقع حالت خاصی از فراین کاتالیز است که به کمک نور انجام می‌شود. در سال ۱۹۷۲، فوجیشیما<sup>۱</sup> و هوندا<sup>۲</sup> تجزیه فوتوکاتالیزی آب را روی سطح الکترودهای  $TiO_2$  کشف کردند (فوجیشیما، ۱۹۷۲). این پدیده شروع عصر جدیدی را در فوتوکاتالیز ناهمگن رقم زد. از آن پس، تلاش‌های تحقیقاتی گسترده‌ای توسط شیمیدان‌ها، فیزیکدان‌ها و مهندسین شیمی برای فهم فرایندهای بنیادی و

<sup>۳</sup> Large band gap

<sup>۴</sup> Bach

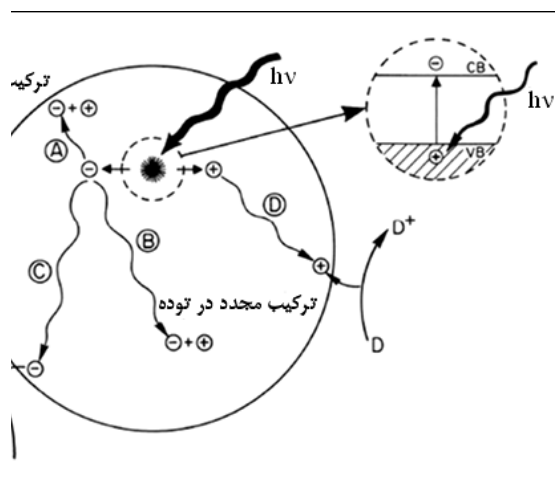
<sup>۵</sup> Valence band (VB)

<sup>۶</sup> Conduction band (CB)

<sup>۱</sup> Fujishima

<sup>۲</sup> Honda

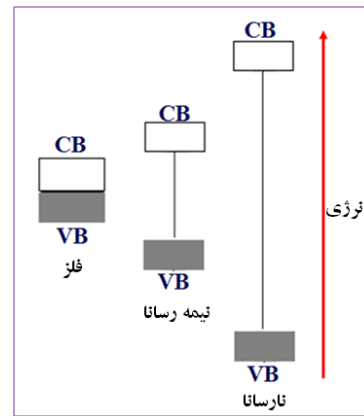
می‌شود. فرایند اولیه برای فوتوكاتالیز ترکیبات آلی و معدنی به وسیله نیمه‌هادی‌ها، تولید زوج‌های الکترون-حفره در ذرات نیمه‌هادی می‌باشد. قسمت بزرگنمایی شده شکل ۲ تحریک یک الکترون از نوار ظرفیت به نوار هدایت به کمک جذب نور با انرژی hν از نوار ظرفیت و هدایت در مواد عایق، باعث نارسانا شدن این تحریک، سرنوشت حفره و الکترون جدا شده در چندین مسیر رقم می‌خورد. شکل ۲ بعضی از مسیرهای آسایش برای الکترون‌ها و حفره‌ها را نشان می‌دهد (نوساکا، ۱۹۹۳).



شکل ۲- طرح نموداری فوتواکسایش در یک جامد به همراه پدیده‌های ترکیب مجدد.

انتقال الکترون و حفره‌ها به گونه‌های آلی و معدنی یا مولکول‌های حلال جذب شده، از انتقال الکترون‌ها و حفره‌ها به سطح نیمه‌هادی نتیجه می‌شود. اگر گونه‌ها روی سطح نیمه‌هادی پیش جذب شوند، فرایند انتقال الکترون مؤثرتر است (ماتیوز، ۱۹۸۸). الکترون‌های رسیده به سطح باعث کاهش یک پذیرنده الکترون (معمولًاً اکسیژن در یک محلول هوادهی شده) می‌شوند (مسیر C)، در صورتی که حفره‌های مهاجرت نموده به سطح، باعث اکسایش یک دهنده الکترون می‌شوند (مسیر D). امکان انجام و سرعت فرایندهای انتقال بار برای الکترون‌ها و حفره‌ها به موقعیت نسبی لبه‌های نوار برای نوارهای هدایت و ظرفیت و ترازهای پتانسیل ردوکس گونه‌های جذب شده بستگی دارد. نکته مهم آنکه قدرت کاهندگی و اکسندگی نیمه‌هادی با انجام فرایند تحریک افزایش می‌یابد.

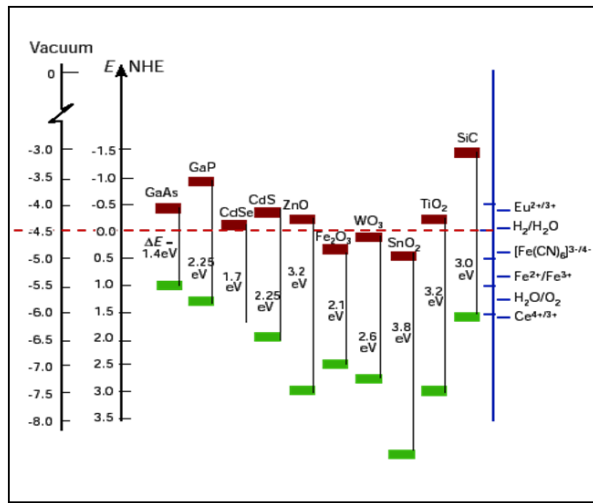
و نوار هدایت در یک ماده، شکاف نوار انرژی اطلاق می‌گردد (شکل ۱). همانطور که در این شکل دیده می‌شود، در فلزات این دو نوار با هم همپوشانی دارند، بنابراین فلزات حتی در شرایط عادی نیز دارای هدایت الکتریکی می‌باشند. اما فاصله زیاد انرژی بین دو نوار ظرفیت و هدایت در مواد عایق، باعث نارسانا شدن این مواد از نقطه نظر الکتریکی می‌گردد. در مورد مواد نیمه‌هادی شکاف نوار انرژی به اندازه‌ای است که این مواد در شرایط معمولی هادی نمی‌باشند، در صورتی که این مواد با اعمال مقداری انرژی به روش‌های مختلف مانند تابش نور، دادن حرارت و ایجاد شوک‌های الکتریکی رسانای جریان الکتریسیته می‌شوند (مانی، ۱۹۶۵).



شکل ۱- طرح نموداری ایجاد نوارها در جامدات از اربیتال‌های اتمی اتم‌های منفرد.

## ۲- تحریک نوری شکاف نوار انرژی نیمه‌هادی

بر خلاف فلزات که نوارهای الکترونی پیوسته دارند، نیمه‌هادی‌ها دارای یک ناحیه انرژی خالی از الکترون (شکاف نوار) می‌باشند که در آنجا هیچ تراز انرژی برای ترکیب مجدد یک الکترون و حفره تولید شده در اثر تحریک نوری، در دسترس نمی‌باشد. هنگامی که تحریک در شکاف نوار رخ می‌دهد، این تحریک دارای طول عمر کافی (در حد نانو ثانیه) می‌باشد به طوری که فرصت انتقال بار به گونه‌های جذب شده (گونه‌های موجود در فاز محلول یا گازی) در سطح نیمه‌هادی وجود دارد. اگر نیمه‌هادی دست نخورده باقی بماند و انتقال بار به گونه‌های جذب شده پیوسته و گرماده باشد فرایند فوتوكاتالیز ناهمگن نامیده



شکل ۳- سطوح انرژی نوار ظرفیت و نوار هدایت چند نیمه‌هادی در محلول آبی با  $\text{pH} = 1$ .

ترکیب مجدد الکترون و حفره با انتقال بار به گونه‌های جذب شده، رقابت می‌نماید. این فرایند می‌تواند در تووده (مسیر B) یا در سطح (مسیر A) نیمه‌هادی با آزاد نمودن گرما انجام گیرد. بازدهی فرایند فوتوکاتالیز (بازدهی کوانتمی) به صورت تعداد پدیده‌های فوتوکاتالیز رخ داده بر تعداد فوتون‌های جذب شده تعريف می‌شود (ماتیوز، ۱۹۸۸). واضح است که ترکیب مجدد الکترون و حفره باعث کاهش بازدهی فرایند فوتوکاتالیز می‌شود. برای حذف ترکیب مجدد، به عنوان مثال از تله‌های حاملین بار استفاده می‌شود که منجر به فرایند انتقال بار مؤثرتر می‌شوند. بنابراین اصلاحاتی در نیمه هادی نظری افزایش فلزات و ترکیب نیمه هادی‌های دیگر به عنوان تله‌های حاملین بار، در کاهش ترکیب مجدد و افزایش بازدهی فوتوکاتالیز مفید است.

### ۳- موقعیت‌های لبه نوار

توانایی یک نیمه‌هادی برای انتقال بار (الکترون و حفره) به گونه‌های پذیرنده و دهنده الکترون به موقعیت لبه نوار نوارهای هدایت و ظرفیت یک نیمه هادی و پتانسیل ردوکس گونه‌های پذیرنده و دهنده الکترون بستگی دارد. تراز پتانسیل گونه‌های پذیرنده برای انجام فرایند انتقال الکترون، باید به طور همچنین تراز پتانسیل دهنده برای انجام فرایند انتقال حفره باید بالاتر (منفی‌تر) از موقعیت نوار ظرفیت نیمه‌هادی باشد. همچنین تراز پتانسیل دهنده برای انجام فرایند انتقال حفره باید بالاتر (منفی‌تر) از موقعیت لبه‌های نوار هدایت و ظرفیت چندین نیمه‌هادی در شکل ۳ ارائه شده است (لینسبیگلر، ۱۹۹۵). مقیاس انرژی در سمت چپ برای مقایسه با تراز خلا و با الکترود هیدروژن نرمال<sup>۱</sup> قرار دارد. موقعیت‌ها در یک محلول دارای  $\text{pH} = 1$  مورد مقایسه قرار گرفته‌اند.  $\text{pH}$  محلول الکتروولیت روی موقعیت لبه نوار نیمه‌هادی‌ها تأثیر دارد.

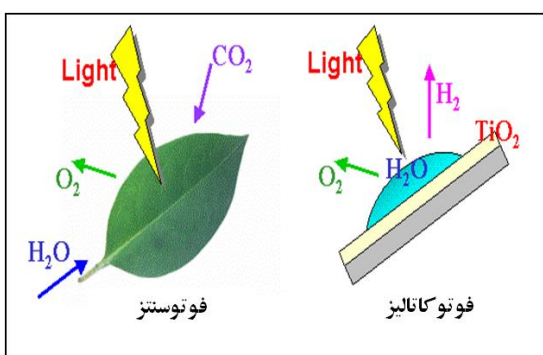
**۴- فوتوکاتالیز در سطح  $\text{TiO}_2$**   
 از بین نیمه‌هادی‌های گوناگون،  $\text{TiO}_2$  به عنوان یک فوتوکاتالیزور به طور وسیعی در فوتوکاسایش ترکیبات معدنی و آلی به ویژه آلاینده‌های موجود در هوا و پساب‌ها مورد استفاده قرار می‌گیرد (اویس، ۱۹۹۳). علت این چنین علاقمندی برای استفاده از  $\text{TiO}_2$  به برخی مزیت‌های آن مانند قیمت پایین، سمیت کم، پایداری شیمیایی بالا و مقاومت در برابر خوردگی توسط نور مربوط است که از شکاف نوار زیاد آن ناشی می‌شود (لینسبیگلر، ۱۹۹۵).  
 دو ساختار بلوری متفاوت،  $\text{TiO}_2$ ، روتیل و آناتاز، به طور مرسموم در فوتوکاتالیز و فوتوکاترکتیوکاتالیز مورد استفاده قرار می‌گیرند. شکل ۴-الف، ساختار سلول‌های واحد بلورهای روتیل و آناتاز و اختلاف‌های ساختاری آنها را نشان می‌دهد. مشخص شده است که آناتاز فعالیت فوتوکاتالیزی بالاتری دارد. این اختلاف به تفاوت در ساختارهای بلوری این دو فاز مربوط است. ساختارهای روتیل و آناتاز بر حسب زنجیرهای هشت‌وجهی  $\text{TiO}_4^{4+}$  (هر یون  $\text{Ti}^{4+}$  توسط شش یون  $\text{O}^{2-}$  به صورت هشت‌وجهی احاطه شده است) توصیف می‌شود. دو ساختار بلوری توسط میزان انحراف هر اکتاهدرال و همچنین در اثر تفاوت در الگوی تجمعی زنجیرهای هشت‌وجهی تفاوت دارند. نکته قابل توجه دیگر از دقت در تغییرات انرژی آزاد گیس استاندارد دو فاز آناتاز و روتیل به دست می‌آید و

<sup>۱</sup>Normal hydrogen electrode (NHE)

## ۱-۴- فوتوکاتالیز مولکولهای معدنی کوچک روی سطح $\text{TiO}_2$

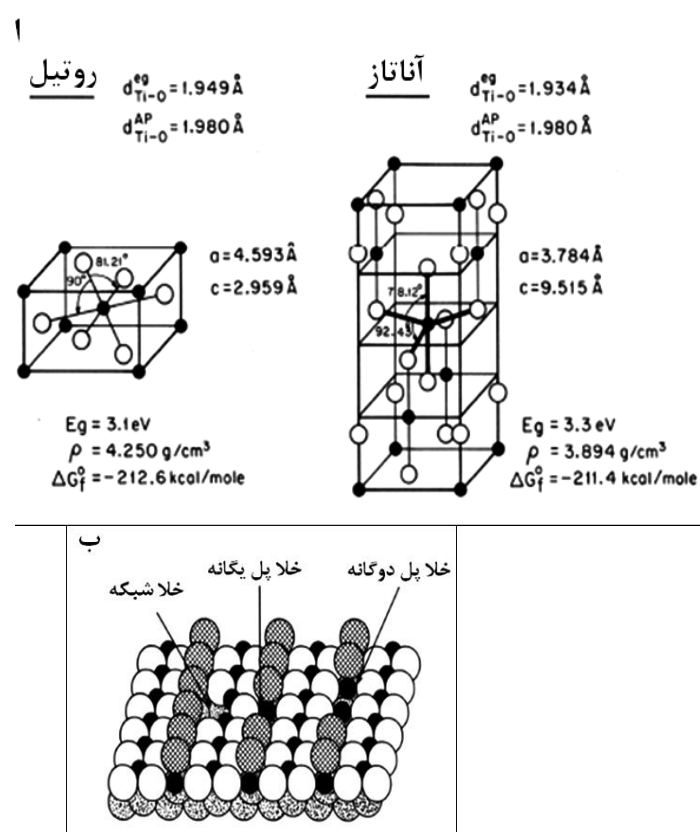
### ۱-۴-۱- فوتوکاتالیز آب

آب می‌تواند در سطح  $\text{TiO}_2$  اکسیده یا کاهیده شود و به ترتیب گازهای اکسیژن و هیدروژن تولید نماید. با توجه به این که در فرایندهای فوتوسنتز توسط کلروفیل و فوتوکاتالیز توسط فوتوکاتالیزور جذب نور صورت می‌گیرد، می‌توان شباهتی بین این دو فرایند در نظر گرفت (شکل ۵). اگرچه  $\text{TiO}_2$  می‌تواند به طور مؤثر تحت تابش با انرژی معادل یا بزرگتر از شکاف نوار برانگیخته شود،  $\text{H}_2\text{O}$  روی سطوح تمیز  $\text{TiO}_2$  نمی‌تواند فوتولیز گردد. شکل ۶-الف، موقعیت‌های لبه نوار  $\text{TiO}_2$  را نسبت به پتانسیل‌های الکتروشیمیایی زوج ردوکس  $\text{H}_2/\text{H}_2\text{O}$  و زوج ردوکس  $\text{O}_2/\text{H}_2\text{O}$  نشان می‌دهد. مطابق نمودار انرژی الکترون، فوتولیز آب از نظر انرژی مساعد است. با این وجود، به دلیل وجود اضافه ولتاژ بالا برای آزاد شدن  $\text{H}_2$  و  $\text{O}_2$  روی سطح  $\text{TiO}_2$  به تنها غیرفعال می‌شود (ساتو، ۱۹۸۰). پودر  $\text{TiO}_2$  با ذرات فلزی رسوب داده شده بر سطح آن (مانند پلاتین به عنوان اصلاحگر و تله الکترون)، برای آزاد شدن  $\text{H}_2$  همراه با ذرات اصلاحگر و تله حفره (برای آزاد شدن  $\text{O}_2$  مطابق شکل ۶-ب، برای فوتولیز آب بکار می‌رond (ساتو، ۱۹۸۰). این سیستم نشان‌دهنده یک مدار بسته به صورت سل الکتروشیمیایی میکرو که در آن یک کاتد  $\text{RuO}_2$  به عنوان یک آند است، را نشان می‌دهد. حضور  $\text{Pt}$ ،  $\text{RuO}_2$  و  $\text{O}_2$  اضافه ولتاژ را به ترتیب برای تولید  $\text{H}_2$  و  $\text{O}_2$  کاهش می‌دهد.

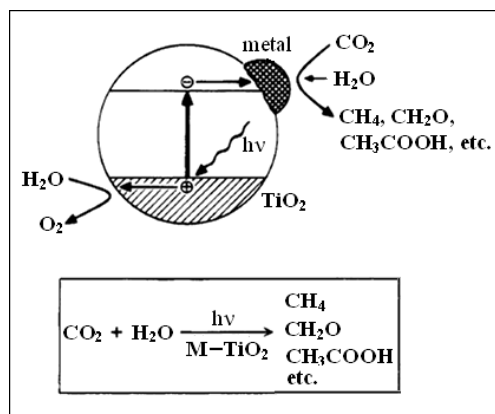


شکل ۵- شباهت میان فرایندهای فوتوسنتز و فوتوکاتالیز.

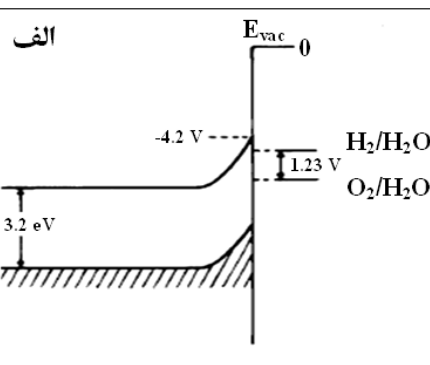
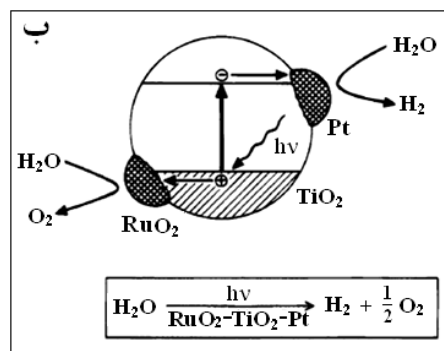
آن نکته این است که روتیل فاز پایدارتری از نظر ترمودینامیکی از آناتاز است، بنابراین افزایش دما باعث تبدیل فاز آناتاز به روتیل می‌شود. به طریق آزمایشی ثابت شده که تبدیل فاز آناتاز به روتیل در K ۸۷۳ شروع و در K ۱۰۷۳ به پایان می‌رسد (لینسیگلر، ۱۹۹۵). همچنین شکل ۴-ب، ساختار هندسی سطح یک تک بلور (در اینجا روتیل) را نشان می‌دهد. وجود سه نوع مکان خالی برای اتم‌های اکسیژن در سطح مشاهده می‌شود. این نواقص مرکز بسیار مناسبی برای جذب مولکولهای نظیر  $\text{O}_2$  و دیگر ترکیبات شیمیایی و انجام واکنش‌های شیمیایی می‌باشند (لینسیگلر، ۱۹۹۵).



شکل ۶- الف- ساختار سلول‌های واحد  $\text{TiO}_2$  روتیل و آناتاز. ب- انواع مکان‌های نقص در سطح  $\text{TiO}_2$ .



شکل ۷- اثر فلز به عنوان پذیرنده الکترون روی فوتوكاهش  $\text{CO}_2$



شکل ۶-الف نمودار انرژی پتانسیل برای زوج های  $\text{H}_2/\text{H}_2\text{O}$  و  $\text{O}_2/\text{H}_2\text{O}$  نسبت به موقعیت های لبه نوار نیمه هادی  $\text{TiO}_2$ . ب- فوتولیز آب روی کاتالیزور چند سازه ای.

**۱-۴- فوتوكاسایش ترکیبات آلی روی سطح  $\text{TiO}_2$**

در سال های اخیر، یکی از فعال ترین حوزه های تحقیق در فوتوكاتالیز، به حذف آلاینده های آلی محیط زیست از پساب های خانگی و به ویژه صنعتی مانند رنگدانه های آلی مانند رودامین B (بارکا، ۲۰۰۸) و لیگنین (یوسفی، ۲۰۱۴) و برخی ترکیبات سمی غیررنگدانه ای نظیر فنول (البورياء، ۲۰۱۰)، ۴-کلرو فنول (لوکاک، ۲۰۰۷) و ۲-پروپانول (اوہنو، ۲۰۰۶) مربوط می شود.  $\text{TiO}_2$  در چنین مطالعاتی به عنوان فوتوكاتالیزور سیستم سوسپانسیون آبی مورد استفاده قرار می گیرد. تلاش های تحقیقاتی در بررسی فوتوكاسایش این گونه ترکیبات دو هدف کلی: (۱) شناسایی حد واسطه های واکنش، مکانیسم و سیتیک واکنش و (۲) بهینه نمودن شرایط واکنش به منظور افزایش سرعت و بازدهی فوتوكاسایش را تعقیب می کنند (کندال، ۲۰۰۰). فوتوكاتالیز اکسایش ترکیبات آلی در فاز گازی و در فاز آبی در حد فاصل دو فاز جامد- گاز و مایع- گاز انجام می شود. در فوتوكاتالیز، ذرات  $\text{TiO}_2$  بیشتر به صورت بلورهای آناتاز مورد استفاده قرار می گیرند. در اثر تابش UV مطابق معادله (۱) باعث ایجاد یک حفره با خلاً دارای بار مثبت در نوار ظرفیت ( $\text{h}^+ \text{VB}^+$ ) می شود. ترکیبات آلی می توانند بطور مستقیم توسط حفره یا اینکه بوسیله رادیکال هیدروکسیل تشکیل شده در

همچنین فوتوكاهش  $\text{CO}_2$  یک فرایند مهم است، چرا که یک فرایند بیولوژیکی به حساب می آید که به طور طبیعی رخ می دهد. از کاهش  $\text{CO}_2$  فرمیک اسید، فرمالدئید، متانول و مکاران بسیار کمی متان تولید می شود (اینو، ۱۹۷۹). ایشیتانی<sup>۱</sup> و همکاران با بررسی اثر فلزات مختلف بر گرینش پذیری محصولات فوتوكاهش  $\text{CO}_2$  نشان دادند که با تغییر نوع فلز رسوب داده شده بر سطح  $\text{TiO}_2$ ، محصول اصلی کاهش  $\text{CO}_2$  تغییر خواهد نمود. به عنوان مثال اگر از سیستم  $\text{Pd}-\text{TiO}_2$  استفاده گردد، محصولات اصلی متان و استیک اسید بدست خواهد آمد (شکل ۷) (ایشیتانی، ۱۹۹۳).

<sup>1</sup>Ishitani

- Fujishima, A., & Honda, K. (1972). Electrochemical photolysis of water at a semiconductor electrode. *Nature*, 238 (5358), 37-38.
- Gratzel, M. (1983). Ed. *Energy Resources Through Photochemistry and Catalysis*. New York, Academic Press.
- Huitle, C. A. M., & Brill, E. (2009). Decontamination of wastewaters containing synthetic organic dyes by electrochemical methods: a general review. *Applied Catalysis B: Environmental*, 87 (3), 105-145.
- Inoue, T., Fujishima, A., Konishi, S., & Honda, K. (1979). Photoelectrocatalytic reduction of carbon dioxide in aqueous suspensions of semiconductor powders. *Nature*, 277 (22), 637-638.
- Ishitani O., Inoue, C., Suzuki, Y., & Ibusuki, T. (1993). Photocatalytic reduction of carbon dioxide to methane and acetic acid by an aqueous suspension of metal-deposited TiO<sub>2</sub>. *Journal of Photochemistry and Photobiology A: Chemistry*, 72 (3), 269-271.
- Linsebigler A. L., Lu, G., & Yates, J. T. (1995). Photocatalysis on TiO<sub>2</sub> surfaces: principles, mechanisms, and selected results. *Chemical Reviews*, 95 (3), 735-758.
- Lukac, J., Klementova, M., Bezdecka, P., Bakardjieva, S., Subrt, J., Szatmary, L., & Jikovsky, J. (2007). Influence of Zr as TiO<sub>2</sub> doping ion on photocatalytic degradation of
- اثر واکنش حفره و آب جذب شده مطابق معادله (۲) اکسید گردند  
(هوتل، ۲۰۰۹):
- (۱)
- (۲)
- $$h_{VB}^+ + H_2O \rightarrow OH^\bullet + H^+$$
- نتیجه گیری**
- فوتوكاتالیز به عنوان یکی از روش‌های اکسایش پیشرفت‌هایی است که در آن یک فوتوكاتالیزور که در اکثر موقعیت نیمه‌هادی است می‌تواند با کمک نور واکنش اکسایش و یا کاهش یک ماده را تسریع نماید. این فرایند بر اساس انتقال الکترون از نوار ظرفیت به نوار هدایت نیمه‌هادی و تشکیل الکترون-حفره استوار می‌باشد. امروزه، این فرایند کاربرد زیادی را در حذف آلاینده‌ها از محیط زیست به ویژه تصویه پساب‌ها پیدا نموده است و کاربرد آن در این مورد نیز رو به افزایش است.
- منابع**
- Barka, N., Qourzal, S., Assabbane, A., Nounah, A., & Ait-Ichou Y. (2008). Factors influencing the photocatalytic degradation of rhodamine B by TiO<sub>2</sub>-coated non-woven paper. *Journal of Photochemistry and Photobiology A: Chemistry*, 195 (2-3), 346–351.
- Candal, R. J., Zeltner, W. A., & Anderson, M. A. (2000). Effects of pH and applied potential on photocurrent and oxidation rate of saline solutions of formic acid in a photoelectrocatalytic reactor. *Environmental Science & Technology*, 34 (16), 3443-3451.

- Sato, S., & White, J. M. (1980). Photoassisted water-gas shift reaction over platinized titanium dioxide catalysts. *Journal of American Chemical Society*, 102 (24), 7206-7210.
- Yousefi Z., Mohmadpour, R. A., Zarei, E., & Barafrashbehpoor, M. (2014). Lignin degradation from synthetic wastewater of pulp and paper industries by using of UV/Fe-Doped TiO<sub>2</sub> photocatalytic process. *Journal of Mazandaran University Medical Sciences*, 23 (2), 96-106 (Persian).
- Many, A., Goldstein, Y., Grover, N. B. (1965). *Semiconductor Surfaces*, North Holland, Amsterdam.
- Matthews, R. W. (1988). An adsorption water purifier with in situ photocatalytic regeneration. *Journal of Catalysis*, 113 (2), 549–555.
- Nosaka, Y. & Fox, M. A. (1988). Kinetics for electron transfer from laser-pulse-irradiated colloidal semiconductors to adsorbed methylviologen. Dependence of the quantum yield on incident pulse width. *Journal of Physical Chemistry*, 92 (7), 1893-1897.

## Abstract

It has been proven that the presence of catalysts enhances the rate of reactions. Also, the role of TiO<sub>2</sub> as a photocatalyst in oxidation and photodecomposition has been studied. On the other hand, the discharge of the colored compounds in the environment causes considerable non-aesthetic pollution and serious health-risk factors. Since conventional wastewater treatment plants cannot degrade the majority of these pollutants, powerful methods for the decontamination of dyes wastewaters have received increasing attention over the past decade. In this work, the contents have been presented about the principles of photocatalysis process. In this regard, band theory has been mentioned that it is indicative of the main cause of the difference between conductive, semiconductor and insulator materials. In the following, the phenomena occurring due to the optical excitation effect of a semiconductor have been discussed. Also, the structure of some allotropes of TiO<sub>2</sub> has

4-chlorophenol. *Applied Catalysis B: Environmental* 74 (1-2), 83-91.

Ohno, T., Miyamoto, Z., Nishijima, K., Kanemitsu, H., & Xueyuan, F. (2006). Sensitization of photocatalyst activity of S- or N-doped TiO<sub>2</sub> particles by adsorbing Fe<sup>3+</sup> cations. *Applied Catalysis A: General*, 302 (1), 62-68.

Oliveria, H. G., Nery, D. C., & Longo, C. (2010). Effect of applied potential on photocatalytic phenol degradation using nanocrystalline TiO<sub>2</sub> electrodes. *Applied Catalysis B: Environmental*, 93 (3-4), 205-211.

Ollis, D. F., & Ekabi, H. A. (1993). *Photocatalytic Purification and Treatment of Water and Air*, Amsterdam.

been investigated. In the end, briefly, some applications of photocatalysis process, particularly in the removals of pollutants from wastewater have been expressed.

**Keywords:** Photocatalysis, Band theory, Semiconductor, TiO<sub>2</sub>, Removal of pollutants